

บทที่ 3

ผลการวิจัย

1. ผลการศึกษาข้อมูลเบื้องต้นของลักษณะน้ำเสียในโรงพยาบาล

จากการศึกษาการบำบัดน้ำเสียของโรงพยาบาล 3 แห่ง ใน จังหวัดสงขลา (มกราคม 2544) ได้แก่ โรงพยาบาลหาดใหญ่ โรงพยาบาลสงขลานครินทร์ และ โรงพยาบาลราชบุรียินดี โดยทำการศึกษา ลักษณะสมบัติของน้ำในจุดน้ำเข้าและออกจากบ่อเติมคลอรีน และข้อมูลการเดินระบบในการเติมคลอรีน ดังแสดงในตาราง 4 โดยมีรายละเอียดดังนี้

ตาราง 4 แสดงลักษณะสมบัติน้ำเสียโรงพยาบาล

| Parameters | รพ.หาดใหญ่ | | รพ.สงขลานครินทร์ | | รพ.ราชบุรียินดี | |
|----------------------------|-------------------|--------|-------------------|-------------------|-------------------|-------------------|
| | Inlet | Outlet | Inlet | Outlet | Inlet | Outlet |
| อุณหภูมิ (°C) | 28 | 28 | 29 | 29 | 28 | 29 |
| pH | 5.84 | 5.43 | 6.55 | 6.52 | 5.95 | 6.57 |
| COD (mg/l) | 58 | 47 | 43 | 28 | 41 | 49 |
| Residual chlorine (mg/l) | 0.4 | 3.7 | 0.4 | 0.4 | 0.4 | 0.4 |
| SS (mg/l) | 28 | 24 | 20 | 17 | 22 | 8 |
| NH ₃ -N (mg/l) | 0.5 | 0.2 | 0.4 | 0.2 | 0.4 | 0.5 |
| coliform (MPN/100ml) | 5.4×10^5 | < 2 | 9.4×10^3 | 2.3×10^3 | 4.6×10^4 | 2.2×10^4 |
| fecal coliform (MPN/100ml) | 4.9×10^5 | < 2 | 4.9×10^3 | 1.7×10^3 | 4.9×10^3 | 9.3×10^3 |
| coliphage* (PFU/ml) | ND | ND | ND | ND | ND | ND |

ND = ไม่พบจุลินทรีย์

Inlet = น้ำเสียก่อนเข้าสู่บ่อเติมคลอรีน

Outlet = น้ำเสียออกจากบ่อเติมคลอรีน

coliphage* = ทำการตรวจสอบโดยใช้ *E.coli* K-12, F⁺(A/λ) เป็น host

1.1 โรงพยาบาลหาดใหญ่

การบำบัดน้ำเสียของโรงพยาบาลหาดใหญ่ ใช้ระบบบำบัดน้ำเสียแบบตะกอนเร่ง (activated sludge) โดยใช้โซเดียมไฮโปคลอไรด์ (NaOCl) 10 % ในการทำลายจุลินทรีย์ ซึ่งใช้เวลาในการสัมผัสกับคลอรีนประมาณ 30 นาที ก่อนปล่อยลงสู่ท่อระบายน้ำสาธารณะ ลักษณะสมบัติน้ำเสียก่อนเข้าสู่บ่อเติมคลอรีน พบว่ามีค่า pH 5.84 มีปริมาณสารอินทรีย์ในเทอม COD 58 mg/l แอมโมเนียไนโตรเจน 0.5 mg/l มีปริมาณตะกอนแขวนลอย 28 mg/l และคลอรีนตกค้าง 0.4 mg/l สำหรับลักษณะสมบัติทางชีวภาพ พบ coliform และ fecal coliform 5.4×10^5 และ 4.9×10^4 MPN/100 ml ตามลำดับ และไม่พบ coliphage

สำหรับน้ำเสียออกจากบ่อเติมคลอรีน พบว่ามีค่า pH 5.43 มีปริมาณสารอินทรีย์ในเทอม COD 47 mg/l แอมโมเนียไนโตรเจน 0.2 mg/l มีปริมาณตะกอนแขวนลอย 24 mg/l และคลอรีนตกค้าง 3.7 mg/l สำหรับลักษณะสมบัติทางชีวภาพ พบ coliform และ fecal coliform <2 MPN/100 ml และไม่พบ coliphage

1.2 โรงพยาบาลสงขลานครินทร์

โรงพยาบาลสงขลานครินทร์เป็นโรงพยาบาลในสังกัดทบวงมหาวิทยาลัย ใช้ระบบบำบัดน้ำเสียแบบ aerated lagoon ตามด้วยบ่อผึ่ง (oxidation pond) การบำบัดน้ำเสียที่เกิดขึ้นจากโรงพยาบาล ใช้โซเดียมไฮโปคลอไรด์ (NaOCl) 10 % ในการทำลายจุลินทรีย์ ซึ่งใช้เวลาในการสัมผัสกับคลอรีนประมาณ 30 นาที ก่อนปล่อยลงสู่ท่อระบายน้ำสาธารณะ ลักษณะสมบัติน้ำเสียก่อนเข้าสู่บ่อเติมคลอรีน พบว่ามีค่า pH 6.55 มีปริมาณสารอินทรีย์ในเทอม COD 43 mg/l แอมโมเนียไนโตรเจน 0.4 mg/l มีปริมาณตะกอนแขวนลอย 20 mg/l และคลอรีนตกค้าง 0.4 mg/l สำหรับลักษณะสมบัติทางชีวภาพ พบ coliform และ fecal coliform 9.4×10^3 และ 4.9×10^3 MPN/100 ml ตามลำดับ และไม่พบ coliphage

สำหรับน้ำเสียออกจากบ่อเติมคลอรีน พบว่ามีค่า pH 6.52 มีปริมาณสารอินทรีย์ในเทอม COD 28 mg/l แอมโมเนียไนโตรเจน 0.2 mg/l มีปริมาณตะกอนแขวนลอย 17 mg/l และคลอรีนตกค้าง 0.4 mg/l สำหรับลักษณะสมบัติทางชีวภาพ พบ coliform และ fecal coliform 2.3×10^3 และ 1.7×10^3 MPN/100 ml ตามลำดับ และไม่พบ coliphage

1.3 โรงพยาบาลราชบุรียีนดี

โรงพยาบาลราชบุรียีนดีเป็นโรงพยาบาลเอกชน ใช้ระบบบำบัดน้ำเสียแบบตะกอนเร่ง (activated sludge) บำบัดน้ำเสียที่เกิดขึ้นจากโรงพยาบาลโดยใช้แคลเซียมไฮโปคลอไรด์ ($\text{Ca}(\text{OCl}_2)$) 65 % ในการทำลายจุลินทรีย์ ซึ่งใช้เวลาในการสัมผัสกับคลอรีนประมาณ 30 นาที ก่อนปล่อยลงสู่ท่อระบายน้ำสาธารณะ ลักษณะสมบัติน้ำเสียก่อนเข้าสู่บ่อเติมคลอรีน พบว่ามีค่า pH 5.95 มีปริมาณสารอินทรีย์ในเทอม COD 41 mg/l แอมโมเนียไนโตรเจน 0.4 mg/l มีปริมาณตะกอนแขวนลอย 22 mg/l และคลอรีนตกค้าง 0.4 mg/l สำหรับลักษณะสมบัติทางชีวภาพ พบ coliform และ fecal coliform 4.6×10^4 และ 4.9×10^3 MPN/100 ml ตามลำดับ และไม่พบ coliphage

สำหรับน้ำเสียออกจากบ่อเติมคลอรีน พบว่ามีค่า pH 6.57 มีปริมาณสารอินทรีย์ในเทอม COD 49 mg/l แอมโมเนียไนโตรเจน 0.5 mg/l มีปริมาณตะกอนแขวนลอย 8 mg/l และคลอรีนตกค้าง 0.4 mg/l สำหรับลักษณะสมบัติทางชีวภาพ พบ coliform และ fecal coliform 2.2×10^4 และ 9.3×10^3 MPN/100 ml ตามลำดับ และไม่พบ coliphage

2. ผลการศึกษาการคงชีพของจุลินทรีย์และการทำลายจุลินทรีย์ด้วยคลอรีน

การศึกษากการคงชีพของจุลินทรีย์ และการทำลายแบคทีเรียและไวรัสด้วยคลอรีน ภายใต้ระยะเวลาที่กำหนดและความแตกต่างจากปัจจัย ต่าง ๆ ซึ่งได้แก่ ปริมาณสารอินทรีย์ แอมโมเนียไนโตรเจน ความเป็นกรด-ด่าง ปริมาณคลอรีน และ ปริมาณตะกอนแขวนลอย ซึ่งทำการศึกษาในน้ำเสียสังเคราะห์และน้ำเสียโรงพยาบาล โดยควบคุมอุณหภูมิที่ 30°C ซึ่งใช้ *E.coli* K-12, $F^+(A/\lambda)$ และ Q β coliphage เป็นตัวแทนในการศึกษา โดยมีรายละเอียดของผลการศึกษา ดังนี้

2.1 น้ำเสียสังเคราะห์

2.1.1 *E.coli* K-12, $F^+(A/\lambda)$

ผลการทดลองการคงชีพและการทำลาย *E.coli* K-12, $F^+(A/\lambda)$ ด้วยคลอรีนในน้ำเสียสังเคราะห์ แสดงไว้ในตารางภาคผนวก 1 และภาพประกอบ 2 และมีรายละเอียดผลการทดลองดังนี้

2.1.1.1 ปริมาณสารอินทรีย์ที่มีผลต่อการคงชีพของ *E.coli* K-12, $F^+(A/\lambda)$

น้ำเสียที่มีสารอินทรีย์ตั้งแต่ 0 (ชุดควบคุม), 20, 50 และ 100 mg/l พบว่ามีการเปลี่ยนแปลงของ *E.coli* K-12, $F^+(A/\lambda)$ ในปริมาณที่แตกต่างกันไป ดังแสดงในภาพประกอบ 2(a) กล่าวคือ *E.coli* K-12, $F^+(A/\lambda)$ ในชุดควบคุมที่ไม่มีสารอินทรีย์ในเทอม COD มีแนวโน้มลดลงอย่างรวดเร็วและต่อเนื่อง ในช่วงเวลา 180 นาที ขณะที่ *E.coli* K-12, $F^+(A/\lambda)$ ในชุดทดลองที่มีสารอินทรีย์เพิ่มขึ้นเล็กน้อย (20 mg/l) พบว่า ในช่วง 60 นาที จะมีการลดลงอย่างต่อเนื่องหลังจากนั้น *E.coli* K-12, $F^+(A/\lambda)$ มีแนวโน้มเพิ่มมากขึ้น ส่วน *E.coli* K-12, $F^+(A/\lambda)$ ในชุดทดลองที่มีสารอินทรีย์ 50 mg/l พบว่า มีการลดลงเล็กน้อยในช่วง 30 นาที หลังจากนั้น *E.coli* K-12, $F^+(A/\lambda)$ มีแนวโน้มเพิ่มมากขึ้น เช่นเดียวกับน้ำเสียที่มีสารอินทรีย์ในปริมาณสูง (100 mg/l) โดยน้ำเสียที่มีสารอินทรีย์น้อยกว่าจะมีการลดลงของ *E.coli* K-12, $F^+(A/\lambda)$ ได้มากกว่าน้ำเสียที่มีสารอินทรีย์ในปริมาณสูง ซึ่งพิจารณาได้จากค่าคงที่ (k) ของอัตราการลดลงของจุลินทรีย์ จากความสัมพันธ์ระหว่างจำนวนจุลินทรีย์กับระยะเวลา ซึ่งนำมาคำนวณในรูปแบบ ปฏิกิริยาลำดับที่หนึ่ง (First-Order Reactions) ดังนี้

$$\frac{d(N)}{dt} = -k(N) \quad (3)$$

หรือ

$$\frac{d(N)}{(N)} = -k dt \quad (4)$$

อินทิเกรต (Integrate) สมการนี้ จะได้

$$\ln \frac{(N)_t}{(N)_0} = -k(t - t_0) \quad (5)$$

จากสมการ(5) $(t)_0 =$ เวลาเริ่มต้น = 0 (มีค่าเท่ากับศูนย์) จะได้

$$- \ln \frac{(N)_t}{(N)_0} = kt \quad (6)$$

ในเมื่อ $(N)_t =$ จำนวนจุลินทรีย์ ณ เวลา t (CFU/ml สำหรับ *E.coli* K-12, $^+(A/\lambda)$,
PFU/ml สำหรับ coliphage)

$(N)_0 =$ จำนวนจุลินทรีย์ที่เวลา $= 0$ (CFU/ml สำหรับ *E.coli* K-12, $^+(A/\lambda)$,
PFU/ml สำหรับ coliphage)

$(t) =$ เวลากำจัดจุลินทรีย์ (นาที)

$k =$ ค่าคงที่ของอัตราการตาย (นาที⁻¹)

สมการ(6) เป็นสมการเส้นตรง สามารถหาอัตราการลดลงหรือค่าคงที่ (k) ของจุลินทรีย์ได้โดยพลอตกราฟความสัมพันธ์ของ $-\ln \frac{(N)_t}{(N)_0}$ กับ เวลา (t) ความชันของกราฟจะเท่ากับค่าคงที่ (k), (ตาราง 5)

โดยค่า k ที่มีค่าสูงจะมีอัตราการตายหรืออัตราการลดลงของจุลินทรีย์สูง ทางตรงข้ามเมื่อค่า k มีค่าต่ำในสภาวะเช่นนั้นจุลินทรีย์จะมีอัตราการตายต่ำ จากผลการทดลองภายใต้เงื่อนไขที่มีสารอินทรีย์ 0, 20 และ 50 mg/l พบว่า มีการเปลี่ยนแปลงของ *E.coli* K-12, $^+(A/\lambda)$ โดยมีค่า k เท่ากับ 0.0602, 0.0323 และ 0.0209 นาที⁻¹ ตามลำดับ ในช่วง 30 นาที ในขณะที่ชุดทดลองที่มีปริมาณสารอินทรีย์ 100 mg/l *E.coli* K-12, $^+(A/\lambda)$ มีแนวโน้มเพิ่มขึ้น ซึ่งเมื่อพิจารณาจากเปอร์เซ็นต์การลดลงของ *E.coli* K-12, $^+(A/\lambda)$ ในช่วง 30 นาที น้ำเสียที่มีสารอินทรีย์ 0, 20 และ 50 mg/l พบว่ามีการลดลง *E.coli* K-12, $^+(A/\lambda)$ เท่ากับ 77.14, 60.00 และ 45.45 % ตามลำดับ ในขณะที่ชุดทดลองที่มีสารอินทรีย์ 100 mg/l มีเปอร์เซ็นต์การลดลงของ *E.coli* K-12, $^+(A/\lambda)$ เท่ากับ 5% โดยชุดทดลองที่มีสารอินทรีย์ 100 mg/l เมื่อเวลาเพิ่มมากขึ้น ปริมาณของ *E.coli* K-12, $^+(A/\lambda)$ มีแนวโน้มเพิ่มมากขึ้น ซึ่งพิจารณาได้จากค่าคงที่ (a) ของอัตราการเพิ่มขึ้นของจุลินทรีย์ จากความสัมพันธ์ระหว่างจำนวนจุลินทรีย์กับระยะเวลา ซึ่งนำมาคำนวณในรูปแบบปฏิกิริยาลำดับที่หนึ่ง (First-Order Reactions) ดังนี้

$$\frac{d(N)}{dt} = a(N) \quad (7)$$

อินทิเกรต (Integrate) สมการนี้ จะได้

$$\ln \frac{(N)_t}{(N)_0} = a(t - t_0) \quad (8)$$

จากสมการ(8) $(t)_0 =$ เวลาเริ่มต้น = 0 (มีค่าเท่ากับศูนย์) จะได้

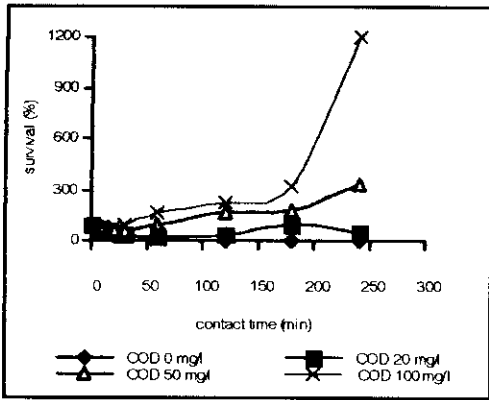
$$\ln \frac{(N)_t}{(N)_0} = at \quad (9)$$

- ในเมื่อ
- $(N)_t =$ จำนวนจุลินทรีย์ ณ เวลา t (CFU/ml สำหรับ *E.coli* K-12, $F^+(A/\lambda)$, PFU/ml สำหรับ coliphage)
 - $(N)_0 =$ จำนวนจุลินทรีย์ที่เวลา = 0 (CFU/ml สำหรับ *E.coli* K-12, $F^+(A/\lambda)$, PFU/ml สำหรับ coliphage)
 - $(t) =$ ระยะเวลา (นาที)
 - $a =$ ค่าคงที่ของการเพิ่มขึ้นของจุลินทรีย์ (นาที⁻¹)

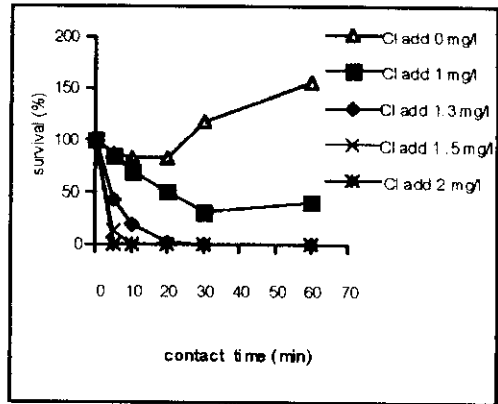
ค่าคงที่ (a) จะมีความหมายตรงข้ามกับค่า k ซึ่งค่า a แสดงถึงอัตราการเพิ่มขึ้นต่อหน่วยเวลาของ *E.coli* K-12, $F^+(A/\lambda)$ โดยในชุดทดลองที่มีสารอินทรีย์ 100 mg/l เมื่อเวลาเพิ่มมากขึ้นจะมีปริมาณของ *E.coli* K-12, $F^+(A/\lambda)$ เพิ่มมากขึ้น ซึ่งมีอัตราการเพิ่มขึ้นต่อหน่วยเวลา (ค่าคงที่ a) เท่ากับ 0.0084 นาที⁻¹ ในช่วง 240 นาที แสดงให้เห็นว่า น้ำที่ไม่ได้เติมสารอินทรีย์หรือมีในปริมาณต่ำมีการลดลงของ *E.coli* K-12, $F^+(A/\lambda)$ สูงกว่าน้ำที่มีสารอินทรีย์ในปริมาณสูง โดยที่น้ำเสียที่มีสารอินทรีย์ในปริมาณสูงมาก *E.coli* K-12, $F^+(A/\lambda)$ มีแนวโน้มเพิ่มจำนวนมากขึ้น

2.1.1.2 ความเข้มข้นของคลอรีนที่มีผลต่อการทำลาย *E.coli* K-12, $F^+(A/\lambda)$

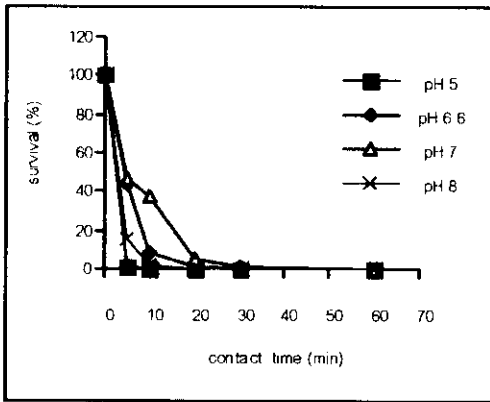
E.coli K-12, $F^+(A/\lambda)$ ในน้ำเสียที่มีสารอินทรีย์ ประมาณ 100 mg/l หลังจากผ่านการเติมคลอรีนให้น้ำเสียมีความเข้มข้นต่างกัน ตั้งแต่ 0 (ชุดควบคุม), 1, 1.3, 1.5, 2 mg/l ได้ผลการเปลี่ยนแปลงของ *E.coli* K-12, $F^+(A/\lambda)$ ดังแสดงในภาพประกอบ 2(b) โดยพบว่าชุดทดลองที่มีการเติมคลอรีนมากที่สุด (2 mg/l) *E.coli* K-12, $F^+(A/\lambda)$ มีแนวโน้มลดลงอย่างรวดเร็ว จนไม่สามารถตรวจพบโคโลนีของ *E.coli* K-12, $F^+(A/\lambda)$ ได้ ในช่วง 10 นาที ในขณะที่ชุดทดลองที่มีการเติมคลอรีน 1.5 mg/l *E.coli* K-12, $F^+(A/\lambda)$ มีการลดลงและไม่สามารถตรวจพบโคโลนีของ



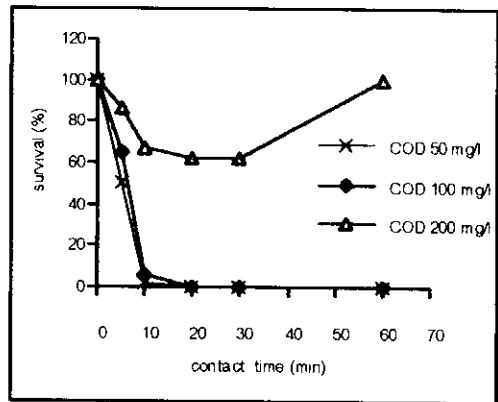
(a) ผลของขี้ที่มีผลต่อการกำจัดของ *E. coli* K-12, F⁺(A/λ)



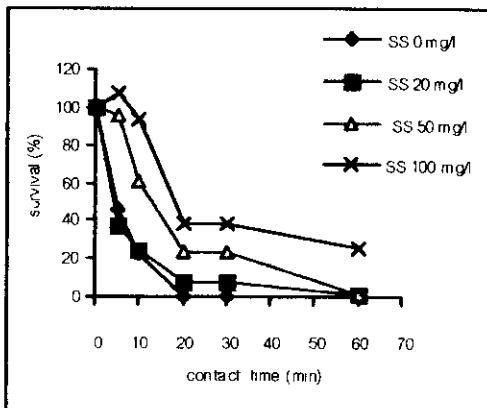
(b) ปริมาณคลอรีนที่มีผลต่อการกำจัดของ *E. coli* K-12, F⁺(A/λ)



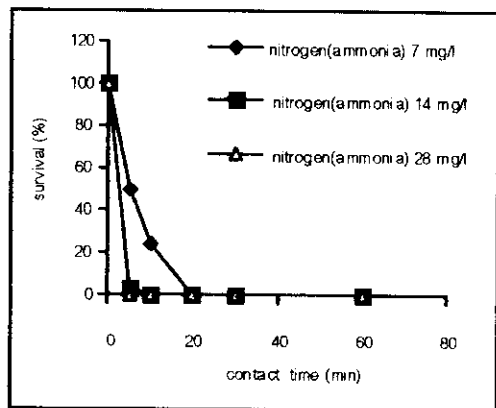
(c) ผลของ pH ที่มีต่อการทำลาย *E. coli* K-12, F⁺(A/λ) ในน้ำเสียที่มีสารเติมคลอรีนให้มีความเข้มข้นเท่ากับ 1.3 mg/l



(d) ผลของสารอินทรีย์ที่มีต่อการทำลาย *E. coli* K-12, F⁺(A/λ) ในน้ำเสียที่มีสารเติมคลอรีนให้มีความเข้มข้นเท่ากับ 1.3 mg/l



(e) ผลของตะกอนแขวนลอยที่มีต่อการทำลาย *E. coli* K-12, F⁺(A/λ) ในน้ำเสียที่มีสารเติมคลอรีนให้มีความเข้มข้น 1.3 mg/l



(f) ผลของแอมโมเนียในตะกอนที่มีต่อการทำลาย *E. coli* K-12, F⁺(A/λ) ในน้ำเสียที่มีสารเติมคลอรีนให้มีความเข้มข้น 1.3 mg/l

ภาพประกอบ 2 (a),(b),(c),(d),(e),(f) แสดงการเปลี่ยนแปลง *E. coli* K-12, F⁺(A/λ) ในน้ำเสีย
 สังกะหรณ์จากปัจจัยการทดลองต่าง ๆ

ตาราง 5 แสดงอัตราการตายของ *E.coli* K-12, $F^+(A/\lambda)$ และ coliphage จากปัจจัยต่าง ๆ ในน้ำเสียสังเคราะห์

| ปัจจัยการทดลอง | <i>E.coli</i> K-12, $F^+(A/\lambda)$ | | | | | coliphage | | | | |
|--|--------------------------------------|------------------------------|-------------------------|----------------|-------------------------|------------------------------|-------------------------|----------------|--------|--------|
| | สถานะน้ำเสียของชุดทดลอง | อัตราการตาย (%) ^a | k (นาที ⁻¹) | R ² | สถานะน้ำเสียของชุดทดลอง | อัตราการตาย (%) ^a | k (นาที ⁻¹) | R ² | | |
| 1. สารอินทรีย์ที่มีผลต่อการคงชีพของจุลินทรีย์ | COD (mg/l) | 0 ^b | 77.14 | 0.0602 | 0.8058 | COD (mg/l) | 0 ^b | 0 | * | * |
| | | 20 | 60.00 | 0.0323 | 0.9819 | | 20 | 0 | * | * |
| | | 50 | 45.45 | 0.0209 | 0.9923 | | 50 | 0 | * | * |
| | | 100 | 5 | * | * | | 100 | -10 | * | * |
| 2. ความเข้มข้นของคลอรีนที่มีผลต่อการอยู่รอดของจุลินทรีย์ | Cl add (mg/l) | 0 ^b | -17.24 | * | * | Cl add (mg/l) | 0 ^b | 2 | * | * |
| | | 1 | 69.50 | 0.0378 | 0.9911 | | 1 | 15.12 | 0.0067 | 0.8214 |
| | | 1.3 | 99.86 | 0.2141 | 0.9881 | | 1.3 | 36.00 | 0.014 | 0.8214 |
| | | 1.5 | >99.99 | 0.5455 | 0.9574 | | 1.5 | 35.83 | 0.0174 | 0.7491 |
| | | 2 | >99.99 | 1.3904 | 1 | | 2 | 40.91 | 0.0199 | 0.805 |
| 3 ^c . pH ที่มีผลต่อการทำลายจุลินทรีย์ด้วยคลอรีน | pH | 5 | >99.99 | 0.7602 | 0.9599 | pH | 5 | 55.45 | 0.0282 | 0.8908 |
| | | 6.6 ^b | 99.67 | 0.21 | 0.9566 | | 6.6 ^b | 34.17 | 0.0169 | 0.9457 |
| | | 7 | 99.35 | 0.1558 | 0.9684 | | 7 | 35.00 | 0.0127 | 0.9356 |
| | | 8 | 99.96 | 0.2949 | 0.9152 | | 8 | 19.17 | 0.0058 | 0.8121 |
| 4 ^d . สารอินทรีย์ที่มีผลต่อการทำลายจุลินทรีย์ด้วยคลอรีน | COD (mg/l) | 50 | >99.99 | 0.4056 | 0.9559 | COD (mg/l) | 50 | 37.08 | 0.0187 | 0.8152 |
| | | 100 ^b | 99.73 | 0.2095 | 0.9571 | | 100 ^b | 35.00 | 0.0169 | 0.7988 |
| | | 200 | 38.10 | 0.0213 | 0.6248 | | 200 | 2.53 | 0.0007 | 0.2617 |
| 5 ^e . ตะกอนแขวนลอยที่มีผลต่อการทำลายจุลินทรีย์ด้วยคลอรีน | SS (mg/l) | 0 ^b | 99.80 | 0.2002 | 0.987 | SS (mg/l) | 0 ^b | 32.97 | 0.0134 | 0.9949 |
| | | 20 | 92.67 | 0.0987 | 0.8538 | | 20 | 22.06 | 0.0083 | 0.9248 |
| | | 50 | 77.11 | 0.0522 | 0.9497 | | 50 | 14.10 | 0.0047 | 0.9164 |
| | | 100 | 62.12 | 0.027 | 0.8416 | | 100 | 2.30 | 0.0008 | 0.7857 |
| 6 ^f . NH ₃ -N ที่มีผลต่อการทำลายจุลินทรีย์ด้วยคลอรีน | NH ₃ -N (mg/l) | 7 ^b | 99.91 | 0.2095 | 0.9558 | NH ₃ -N (mg/l) | 7 ^b | 33.80 | 0.0149 | 0.9637 |
| | | 14 | >99.99 | 0.876 | 0.9867 | | 14 | 44.44 | 0.0184 | 0.9818 |
| | | 28 | >99.99 | 1.0718 | 0.9265 | | 28 | 57.81 | 0.0264 | 0.958 |

* = มีความสัมพันธ์ไม่เป็นไปตามรูปแบบปฏิกิริยาลำดับที่หนึ่ง (First-Order Reactions)

$$a = \text{เปอร์เซ็นต์การตายในช่วง 30 นาที} \frac{(N_0 - N_t)}{(N)_0} \times 100$$

b = ชุดควบคุม

c = เติมคลอรีนให้มีความเข้มข้นเท่ากับ 1.3 mg/l

$$k = \text{ค่าคงที่ของอัตราการตาย (นาที⁻¹) ในช่วง 30 นาที จากสมการ} - \ln \frac{(N)_t}{(N)_0} = k t$$

E.coli K-12, $F^+(A/\lambda)$ ในช่วง 30 นาที สำหรับชุดทดลองที่มีการเติมคลอรีน 1 mg/l และ 3 mg/l ทั้งสองชุดทดลองยังสามารถตรวจพบโคโลนีของ *E.coli* K-12, $F^+(A/\lambda)$ ในช่วง 30 นาที น้ำเสียที่เติมคลอรีนมากกว่ามีการลดลงของ *E.coli* K-12, $F^+(A/\lambda)$ มากกว่า ส่วนชุดทดลองที่ไม่มีการเติมคลอรีน ปรากฏว่ามีการลดลงของ *E.coli* K-12, $F^+(A/\lambda)$ อย่างเล็กน้อย ในช่วง 20 นาที และมีแนวโน้มเพิ่มขึ้น ในช่วงเวลา 30 นาที ซึ่งเมื่อพิจารณาจากเปอร์เซ็นต์การตายของ *E.coli* K-12, $F^+(A/\lambda)$ ในเวลา 30 นาที และค่า k ดังแสดงในตาราง 5 พบว่า ในชุดทดลองที่มีการเติมคลอรีน 1, 1.3, 1.5 และ 2 mg/l เปอร์เซ็นต์การลดลงของ *E.coli* K-12, $F^+(A/\lambda)$ มีค่าเท่ากับ 69.50, 99.86, >99.99 และ >99.99 % ตามลำดับ ในขณะที่ชุดทดลองที่ไม่เติมคลอรีนมีเปอร์เซ็นต์การเพิ่มขึ้นของ *E.coli* K-12, $F^+(A/\lambda)$ เท่ากับ 17.24 %

เมื่อพิจารณาจากค่า k ของอัตราการลดลงของ *E.coli* K-12, $F^+(A/\lambda)$ จากสมการ (6) พบว่าชุดทดลองที่มีการเติมคลอรีนให้ความเข้มข้นของคลอรีนเท่ากับ 1, 1.3, 1.5 และ 2 mg/l มีค่า k เท่ากับ 0.0378, 0.2141, 0.5455 และ 1.3904 นาที⁻¹ ตามลำดับ ในช่วง 30 นาที ซึ่งแสดงให้เห็นว่าค่า k จะมีค่าสูงขึ้นหรือมีอัตราการตายของจุลินทรีย์เพิ่มขึ้นตามระดับความเข้มข้นของคลอรีนในน้ำเสียที่มีเพิ่มมากขึ้น

2.1.1.3 ผลของ pH ที่มีต่อการทำลาย *E.coli* K-12, $F^+(A/\lambda)$ ด้วยคลอรีน

น้ำเสียที่มีสารอินทรีย์ประมาณ 100 mg/l มีค่า pH 5, 6.6 (ชุดควบคุม), 7 และ 8 หลังจากผ่านการเติมคลอรีนให้ความเข้มข้นเท่ากับ 1.3 mg/l ได้ผลการเปลี่ยนแปลงของ *E.coli* K-12, $F^+(A/\lambda)$ ดังแสดงในภาพประกอบ 2(c) โดยพบว่า ทุกชุดทดลอง *E.coli* K-12, $F^+(A/\lambda)$ มีแนวโน้มลดลงแต่ *E.coli* K-12, $F^+(A/\lambda)$ ในชุดทดลองตัวอย่างน้ำเสียที่ค่า pH ต่ำ (pH 5) มีการลดลงอย่างรวดเร็วจนไม่สามารถตรวจพบโคโลนีของ *E.coli* K-12, $F^+(A/\lambda)$ ได้ ในช่วง 20 นาที และมีค่า k เท่ากับ 0.7602 นาที⁻¹ ในขณะที่น้ำเสียที่ pH 6.5 และ 7 มีค่า k เท่ากับ 0.21 และ 0.1558 นาที⁻¹ ตามลำดับ และน้ำเสียที่มีค่า pH สูง (pH 8) *E.coli* K-12, $F^+(A/\lambda)$ มีแนวโน้มลดลงเช่นเดียวกัน โดยมีค่า k 0.2949 นาที⁻¹ ซึ่งเมื่อพิจารณาจากเปอร์เซ็นต์การลดลงของ *E.coli* K-12, $F^+(A/\lambda)$ ในช่วง 30 นาที พบว่า ในชุดทดลองที่มี pH 5, 6.5, 7 และ 8 มีเปอร์เซ็นต์การลดลงของ *E.coli* K-12, $F^+(A/\lambda)$ เท่ากับ >99.99, 99.67, 99.35 และ 99.96 % ตามลำดับ (ตาราง 5)

2.1.1.4 ผลของปริมาณสารอินทรีย์ที่มีผลต่อการทำลาย *E.coli* K-12, $F^+(A/\lambda)$ ด้วยคลอรีน

E.coli K-12, $F^+(A/\lambda)$ ในน้ำเสียที่มีระดับสารอินทรีย์ 50 , 100 และ 200 mg/l เมื่อนำไปเติมคลอรีนให้มีความเข้มข้น 1.3 mg/l พบการเปลี่ยนแปลงของ *E.coli* K-12, $F^+(A/\lambda)$ ดังแสดงในภาพประกอบ 2(d) โดย *E.coli* K-12, $F^+(A/\lambda)$ ในชุดทดลองที่มีสารอินทรีย์ 50 mg/l มีการลดลงของ *E.coli* K-12, $F^+(A/\lambda)$ มากที่สุด โดยพิจารณาจากค่า k และเปอร์เซ็นต์การตาย ดังแสดงในตาราง 5 พบว่า มีค่า k เท่ากับ 0.4056 นาที^{-1} และเมื่อเพิ่มสารอินทรีย์ในน้ำให้มากขึ้นในปริมาณ 100 และ 200 mg/l พบว่ามีค่า k เท่ากับ 0.2095 และ 0.0213 นาที^{-1} ตามลำดับ ในช่วง 30 นาที ซึ่งเมื่อพิจารณาจากเปอร์เซ็นต์การลดลงของ *E.coli* K-12, $F^+(A/\lambda)$ ในช่วง 30 นาที พบว่า ในชุดทดลองที่มี ระดับสารอินทรีย์ 50, 100 และ 200 mg/l มีเปอร์เซ็นต์การลดลงของ *E.coli* K-12, $F^+(A/\lambda)$ เท่ากับ >99.99 , 99.73 และ 38.10% ตามลำดับ โดยชุดทดลองที่ปริมาณสารอินทรีย์ 200 mg/l *E.coli* K-12, $F^+(A/\lambda)$ มีแนวโน้มลดลง ในช่วง 30 นาที หลังจากนั้น *E.coli* K-12, $F^+(A/\lambda)$ มีแนวโน้มเพิ่มจำนวนมากขึ้น ในขณะที่ชุดทดลองที่มีระดับสารอินทรีย์ 50 และ 100 mg/l *E.coli* K-12, $F^+(A/\lambda)$ มีแนวโน้มลดลงตลอดระยะเวลาที่ทำการศึกษา (60 นาที) ซึ่งจะเห็นได้ว่าการทำลาย *E.coli* K-12, $F^+(A/\lambda)$ ด้วยคลอรีนในน้ำเสียที่มีสารอินทรีย์ต่ำมีผลต่อการทำลาย *E.coli* K-12, $F^+(A/\lambda)$ ได้มากกว่าน้ำเสียที่มีสารอินทรีย์ในปริมาณสูง

2.1.1.5 ปริมาณตะกอนแขวนลอยที่มีผลต่อการทำลาย *E.coli* K-12, $F^+(A/\lambda)$ ด้วยคลอรีน

E.coli K-12, $F^+(A/\lambda)$ ในน้ำที่มีระดับสารอินทรีย์ประมาณ 100 mg/l และมีตะกอนแขวนลอย 0 (ชุดควบคุม), 20, 50 และ 100 mg/l เมื่อนำไปเติมคลอรีนให้มีความเข้มข้น 1.3 mg/l พบว่ามีการเปลี่ยนแปลง *E.coli* K-12, $F^+(A/\lambda)$ ดังแสดงในภาพประกอบ 2(e) โดยทุกชุดทดลอง *E.coli* K-12, $F^+(A/\lambda)$ มีแนวโน้มลดลง ซึ่งในชุดทดลองที่ไม่มีตะกอนแขวนลอย (ชุดควบคุม) จะมีการลดลงของ *E.coli* K-12, $F^+(A/\lambda)$ มากที่สุด ในขณะที่น้ำเสียที่มีตะกอนแขวนลอย 20, 50 และ 100 mg/l จะมีการลดลงของ *E.coli* K-12, $F^+(A/\lambda)$ มาก ปานกลาง และต่ำ ตามลำดับ โดยมีค่า k (ตาราง 5) เท่ากับ 0.2002 , 0.0987 , 0.0522 และ 0.027 นาที^{-1} ตามลำดับ ในช่วง 30 นาที เมื่อพิจารณาเปอร์เซ็นต์การลดลงของ *E.coli* K-12, $F^+(A/\lambda)$ ในช่วง 30 นาที พบว่า ในชุดทดลองที่มี ระดับตะกอนแขวนลอย 0, 20, 50 และ 100 mg/l มีเปอร์เซ็นต์

การลดลงของ *E.coli* K-12, $F^+(A/\lambda)$ เป็น 99.80, 92.67, 77.11 และ 62.12 % ตามลำดับ ซึ่งแสดงให้เห็นว่าตะกอนแขวนลอยในน้ำเสียมีผลต่อการทำลาย *E.coli* K-12, $F^+(A/\lambda)$ ด้วยคลอรีน

2.1.1.6 ผลของแอมโมเนียไนโตรเจนที่มีผลต่อการทำลาย *E.coli* K-12, $F^+(A/\lambda)$ ด้วยคลอรีน

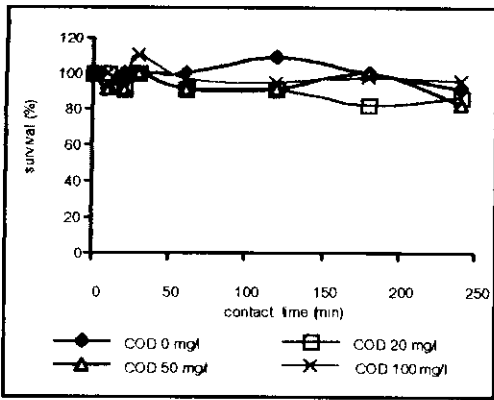
E.coli K-12, $F^+(A/\lambda)$ ในน้ำเสียที่มีสารอินทรีย์ประมาณ 100 mg/l มีแอมโมเนียไนโตรเจน 7, 14 และ 28 mg/l หลังจากนำไปเติมคลอรีนให้มีความเข้มข้น 1.3 mg/l พบว่ามีการเปลี่ยนแปลง *E.coli* K-12, $F^+(A/\lambda)$ ดังแสดงในภาพประกอบ 2(f) โดยทุกชุดการทดลอง *E.coli* K-12, $F^+(A/\lambda)$ มีแนวโน้มลดลง กล่าวคือ จุลินทรีย์ในน้ำเสียที่มีแอมโมเนียไนโตรเจนสูง (28 mg/l) และปานกลาง (14 mg/l) มีการลดลงอย่างรวดเร็ว โดยทั้ง 2 ชุดทดลองไม่พบโคโลนีของ *E.coli* K-12, $F^+(A/\lambda)$ ในช่วง 20 นาทีและมีการลดลงมากกว่าน้ำเสียที่มีแอมโมเนียไนโตรเจนต่ำ (7 mg/l) ซึ่งพิจารณาได้จากค่าคงที่ พบว่า มีค่า k เท่ากับ 1.0718, 0.876 และ 0.2095 นาที⁻¹ ในน้ำเสียที่มีแอมโมเนียไนโตรเจนสูง ปานกลาง และ ต่ำ ตามลำดับ เมื่อพิจารณาเปอร์เซ็นต์การลดลงของ *E.coli* K-12, $F^+(A/\lambda)$ ในช่วง 30 นาที พบว่า ในชุดทดลองที่มีปริมาณแอมโมเนียไนโตรเจน 7, 14 และ 28 mg/l มีเปอร์เซ็นต์การลดลงของ *E.coli* K-12, $F^+(A/\lambda)$ เท่ากับ 99.91, >99.99 และ >99.99 % ตามลำดับ ซึ่งแสดงให้เห็นว่า *E.coli* K-12, $F^+(A/\lambda)$ ในน้ำเสียที่มีแอมโมเนียไนโตรเจนสูง มีค่าคงที่สูงกว่าน้ำเสียที่มีแอมโมเนียไนโตรเจนต่ำ

2.1.2 Q β coliphage

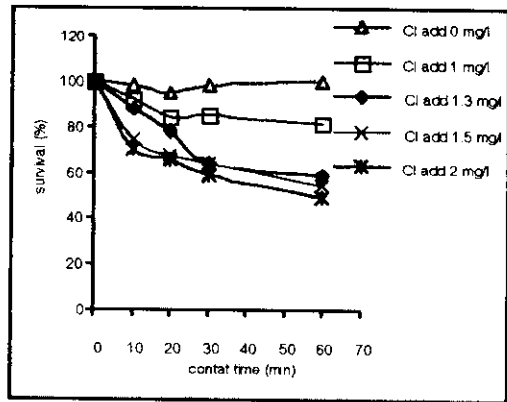
การทดลองการคงชีพและการทำลาย coliphage ด้วยคลอรีนในน้ำเสียสังเคราะห์ มีผลการทดลองดังแสดงในตารางภาคผนวก 2 และภาพประกอบ 3 โดยแสดงค่า k และเปอร์เซ็นต์การตายของ coliphage ในตาราง 5 และมีผลการทดลองดังนี้

2.1.2.1 สารอินทรีย์ที่มีผลต่อการคงชีพของ coliphage

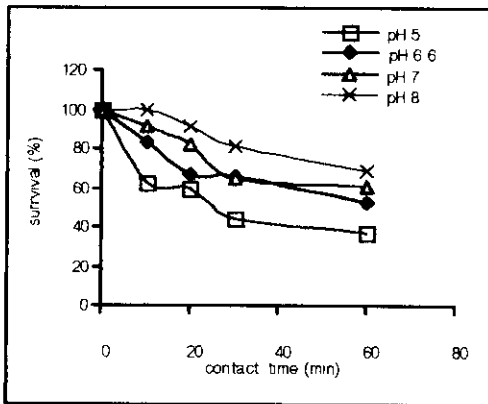
น้ำเสียที่มีสารอินทรีย์ตั้งแต่ 0 (ชุดควบคุม), 20, 50, 100 mg/l พบว่า coliphage มีการเปลี่ยนแปลงดังแสดงในภาพประกอบ 3(a) โดยทุกชุดทดลองมีการเปลี่ยนแปลงของ coliphage เล็กน้อยและไม่แตกต่างกันมาก



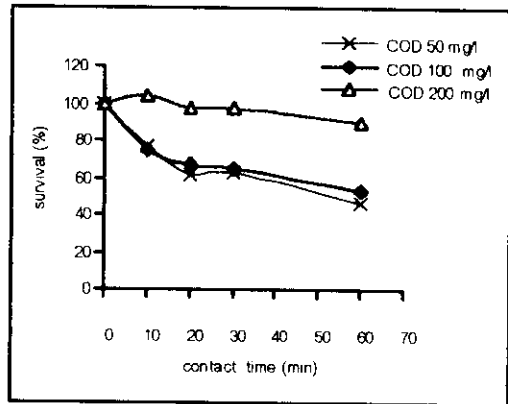
(a) สารอินทรีย์ที่มีผลต่อการคงชีพของ coliphage



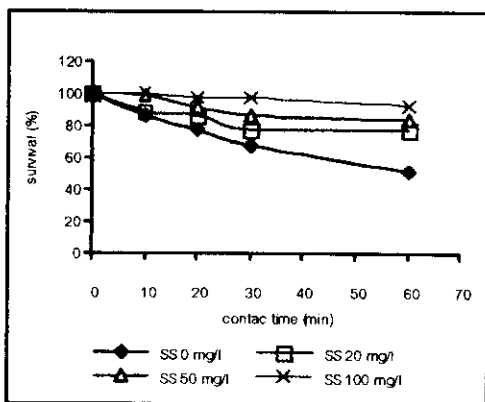
(b) ปริมาณคลอรีนที่มีผลต่อการคงชีพของ coliphage



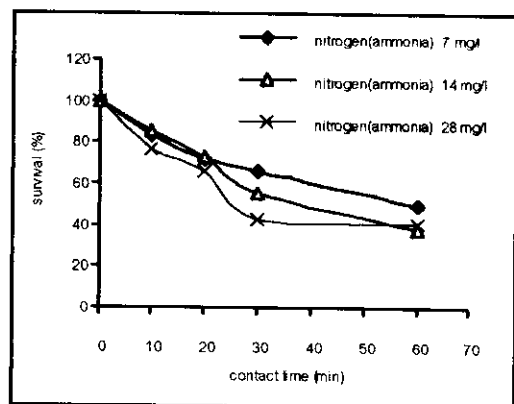
(c) ผลของ pH ที่มีต่อการทำลาย coliphage ในน้ำเสียที่มีการเติมคลอรีนให้มีความเข้มข้น 1.3 mg/l



(d) ผลของสารอินทรีย์ที่มีต่อการทำลาย coliphage ในน้ำเสียที่มีการเติมคลอรีนให้มีความเข้มข้น 1.3 mg/l



(e) ผลของตะกอนแขวนลอยที่มีต่อการทำลาย coliphage ในน้ำเสียที่มีการเติมคลอรีนให้มีความเข้มข้น 1.3 mg/l



(f) ผลของแอมโมเนียไนโตรเจนที่มีต่อการทำลาย coliphage ในน้ำเสียที่มีการเติมคลอรีนให้มีความเข้มข้น 1.3 mg/l

ภาพประกอบ 3 (a),(b),(c),(d),(e),(f) แสดงการเปลี่ยนแปลง coliphage ในน้ำเสียสังเคราะห์จากปัจจัยการทดลองต่าง ๆ

2.1.2.2 ความเข้มข้นของคลอรินที่มีผลต่อการทำลาย coliphage

coliphage ในน้ำเสียที่มีสารอินทรีย์ ประมาณ 100 mg/l หลังจากผ่านการเติมคลอรินให้น้ำเสียมีความเข้มข้น 0 (ชุดควบคุม), 1, 1.3, 1.5 และ 2 mg/l พบว่า coliphage มีการเปลี่ยนแปลงดังแสดงในภาพประกอบ 3(b) น้ำเสียที่มีการเติมคลอรินมากที่สุด (2 mg/l) มีแนวโน้มลดลงของ coliphage สูงสุด ในขณะที่น้ำเสียไม่เติมคลอริน มีแนวโน้มลดลงต่ำที่สุด สำหรับน้ำเสียที่มีการเติมคลอริน 1, 1.3, และ 1.5 mg/l มีแนวโน้มของการลดลงเพิ่มตามปริมาณของคลอรินในน้ำเสีย ซึ่งพิจารณาได้จากค่า k จากสมการ (6) และ เปอร์เซ็นต์การลดลงของ coliphage ดังแสดงในตาราง 5 โดยพบว่ามีค่า k เท่ากับ 0.0067, 0.014, 0.0174 และ 0.0199 นาที⁻¹ ในน้ำเสียที่มีความเข้มข้นของคลอริน 1, 1.3, 1.5 และ 2 mg/l ตามลำดับ ซึ่งเมื่อพิจารณาจากเปอร์เซ็นต์การลดลงของ coliphage ในเวลา 30 นาที พบว่า ในชุดทดลองที่มีการเติมคลอรินให้มีความเข้มข้นเท่ากับ 0, 1, 1.3, 1.5 และ 2 mg/l coliphage มีเปอร์เซ็นต์การลดลงเท่ากับ 15.12, 36, 35.83 และ 40.91 % ตามลำดับ ซึ่งถึงแม้ว่าชุดทดลองที่มีการเติมคลอรินให้มีความเข้มข้นเท่ากับ 1.5 mg/l จะมีเปอร์เซ็นต์การลดลงของ coliphage ต่ำกว่าชุดทดลองที่มีความเข้มข้นของคลอริน 1.3 mg/l เล็กน้อย แต่เมื่อพิจารณาค่าคงที่และแนวโน้มการลดลงของ coliphage แล้วพบว่า มีค่ามากกว่าและมีแนวโน้มการลดลงของ coliphage มากกว่าชุดทดลองที่มีการเติมคลอรินให้มีความเข้มข้นเท่ากับ 1.3 mg/l

2.1.2.3 ผลของ pH ที่มีต่อการทำลาย coliphage ด้วยคลอริน

น้ำเสียที่มีสารอินทรีย์ประมาณ 100 mg/l ที่มี pH 5, 6.6 (ชุดควบคุม), 7 และ 8 หลังจากผ่านการเติมคลอรินให้มีความเข้มข้น 1.3 mg/l พบว่า coliphage มีการเปลี่ยนแปลงดังแสดงในภาพประกอบ 3(c) โดยชุดทดลองที่มี pH ต่ำมีแนวโน้มลดลงของ coliphage มากกว่าชุดทดลองที่มี pH สูง โดยพิจารณาได้จากค่า k จากสมการ (6) และ เปอร์เซ็นต์การลดลงของ coliphage พบว่า ในน้ำเสียที่มีค่า pH ต่ำ (pH 5) มีค่า k สูงสุด โดยมีค่า k เท่ากับ 0.0282 นาที⁻¹ ในขณะที่น้ำเสียที่มี pH 8 มีค่า k ต่ำสุด โดยมีค่า k เท่ากับ 0.0058 นาที⁻¹ และในน้ำเสียที่มี pH 6.6 และ 7 มีค่า k เท่ากับ 0.0169 และ 0.0127 นาที⁻¹ ตามลำดับ เมื่อพิจารณาจากเปอร์เซ็นต์การลดลงของ coliphage พบว่ามีเปอร์เซ็นต์การลดลงเท่ากับ 55.45, 34.17, 35.00 และ 19.17 % ตามลำดับ ในช่วง 30 นาที

2.1.2.4 ผลของปริมาณสารอินทรีย์ที่มีผลต่อการทำลาย coliphage ด้วยคลอรีน coliphage ในน้ำเสียที่มีระดับสารอินทรีย์ 50, 100 (ชุดควบคุม) และ 200 mg/l เมื่อนำไปเติมคลอรีนให้มีความเข้มข้น 1.3 mg/l พบว่า coliphage มีการเปลี่ยนแปลงดังแสดงในภาพประกอบ 3(d) ทุกชุดทดลองมีแนวโน้มลดลงเพียงเล็กน้อย แต่ coliphage ในน้ำเสียที่มีสารอินทรีย์ในปริมาณต่ำมีการลดลงของ coliphage สูงสุด โดยพิจารณาได้จากค่า k จากสมการ (6) และ เปอร์เซ็นต์การลดลงของ coliphage โดย coliphage ในน้ำเสียที่มีสารอินทรีย์ในปริมาณต่ำมีค่า k เท่ากับ 0.0187 นาที^{-1} ในช่วง 30 นาที ในขณะที่น้ำเสียที่มีสารอินทรีย์ 100 และ 200 mg/l มีค่า k เท่ากับ 0.0169 และ 0.0007 นาที^{-1} ตามลำดับ ในช่วง 30 นาที และเมื่อพิจารณาจากเปอร์เซ็นต์การลดลงของ coliphage พบว่ามีการลดลง 37.08, 35.00 และ 2.53 % ในน้ำเสียที่มีสารอินทรีย์ 50, 100 และ 200 mg/l ตามลำดับ ในช่วง 30 นาที ซึ่งแสดงให้เห็นว่าน้ำเสียที่มีปริมาณสารอินทรีย์ต่ำมีผลต่อการทำลาย coliphage ได้มากกว่าน้ำเสียที่มีปริมาณสารอินทรีย์สูง

2.1.2.5 ปริมาณตะกอนแขวนลอยที่มีผลต่อการทำลาย coliphage ด้วยคลอรีน coliphage ที่มีระดับสารอินทรีย์ประมาณ 100 mg/l และมีตะกอนแขวนลอย 0 (ชุดควบคุม), 20, 50 และ 100 mg/l เมื่อนำไปเติมคลอรีนให้มีความเข้มข้น 1.3 mg/l พบว่า coliphage มีการเปลี่ยนแปลงดังแสดงในภาพประกอบ 3(e) โดยทุกชุดทดลอง coliphage มีแนวโน้มลดลงเพียงเล็กน้อย แต่มีต่างกัน กล่าวคือ น้ำเสียที่ไม่มีตะกอนแขวนลอยจะมีการลดลงของ coliphage มากที่สุด โดยพิจารณาได้จากค่า k จากสมการ (6) และ เปอร์เซ็นต์การลดลงของ coliphage โดย coliphage ในน้ำเสียที่มีตะกอนแขวนลอย 0 (ชุดควบคุม), 20, 50 และ 100 mg/l มีค่า k เท่ากับ 0.0134, 0.0083, 0.0047 และ 0.0008 นาที^{-1} ตามลำดับ ในช่วง 30 นาที และเมื่อพิจารณาจากเปอร์เซ็นต์การลดลงของ coliphage ในช่วง 30 นาที พบว่ามีการลดลงเท่ากับ 32.97, 22.06, 14.10, 2.30 % ในน้ำเสียที่มีตะกอนแขวนลอย 0 (ชุดควบคุม), 20, 50 และ 100 mg/l ตามลำดับ

2.1.2.6 ผลของแอมโมเนียไนโตรเจนที่มีผลต่อการทำลาย coliphage ด้วยคลอรีน coliphage ในน้ำเสียที่มีสารอินทรีย์ประมาณ 100 mg/l มีแอมโมเนียไนโตรเจน 7, 14 และ 28 mg/l หลังจากนำไปเติมคลอรีนให้มีความเข้มข้น 1.3 mg/l พบว่า coliphage มีการเปลี่ยนแปลงดังแสดงในภาพประกอบ 3(f) โดยทุกชุดทดลอง coliphage มีแนวโน้มลดลง กล่าวคือ coliphage ในน้ำเสียที่มีแอมโมเนียไนโตรเจนสูง (28 mg/l) และปานกลาง

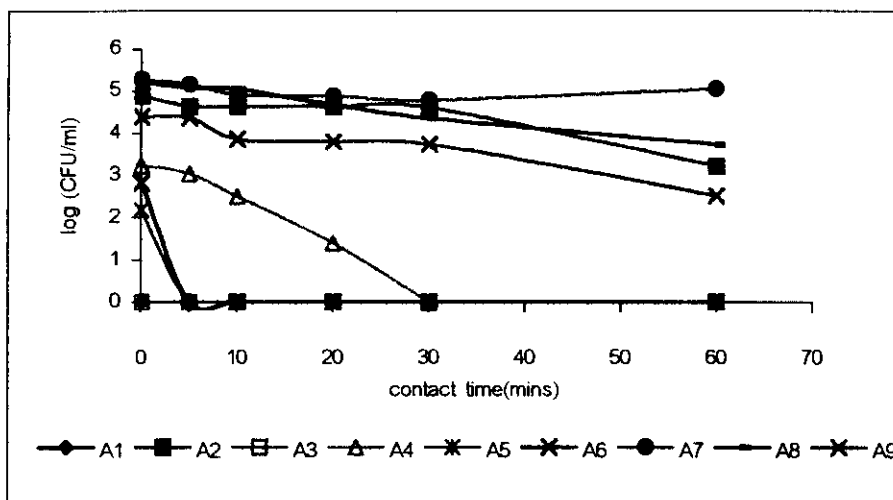
(14 mg/l) มีแนวโน้มการลดลงของ coliphage สูงกว่าน้ำเสียที่มีแอมโมเนียไนโตรเจนต่ำ (7 mg/l) โดยพิจารณาได้จากค่า k จากสมการ (6) และ เปอร์เซ็นต์การลดลงของ coliphage พบว่า มีค่า k เท่ากับ 0.0149, 0.0184 และ 0.0264 นาที⁻¹ ในช่วง 30 นาที สำหรับแอมโมเนียไนโตรเจน 7, 14 และ 28 mg/l ตามลำดับ และเมื่อพิจารณาจากเปอร์เซ็นต์การลดลงของ coliphage ในช่วง 30 นาที พบว่ามีการลดลงเท่ากับ 57.81, 44.44 และ 33.80% ในน้ำเสียที่มีแอมโมเนียไนโตรเจน 28, 14 และ 7 mg/l ตามลำดับ

2.2 น้ำเสียโรงพยาบาล

2.2.1 *E.coli* K-12, F⁺(A/λ)

น้ำเสียของโรงพยาบาลที่ออกจากบ่อดักตะกอนก่อนเข้าสู่บ่อเติมคลอรีน นำมาทำการศึกษาถึงการเปลี่ยนแปลงของแบคทีเรียภายใต้เงื่อนไขที่ได้แสดงในตาราง 3 และได้ผลการทดลองดังแสดงในตารางภาคผนวก 3 และ ภาพประกอบ 4 โดยน้ำตัวอย่างที่นำมาทำการศึกษามีลักษณะสมบัติต่าง ๆ คือ มีค่า pH 3.31 มีปริมาณสารอินทรีย์ในเทอม COD 46.56 mg/l มีตะกอนแขวนลอย 19 mg/l แอมโมเนียไนโตรเจน 0.5 mg/l และไม่พบคลอรีนตกค้าง นอกจากนี้ยังไม่พบ fecal coliform (ชุดทดลอง A1) จากการวิเคราะห์ปริมาณ fecal coliform ในน้ำเสียตัวอย่างด้วยวิธี direct plating และเมื่อนำตัวอย่างน้ำเสียมาทำการศึกษาถึงการเปลี่ยนแปลง *E.coli* K-12, F⁺(A/λ) โดยทำการเติม *E.coli* K-12, F⁺(A/λ) ให้มีความเข้มข้นประมาณ 10⁵ CFU/ml ในชุดทดลอง A2-A9 พบว่า *E.coli* K12 F⁺(A/λ) มีการเปลี่ยนแปลงแตกต่างกันไป โดยชุดทดลอง A2 (ไม่เติมคลอรีน) *E.coli* K12 F⁺(A/λ) มีการลดลงเล็กน้อย เมื่อเปรียบเทียบกับชุดทดลอง A3 ที่มีการเติมคลอรีนให้มีความเข้มข้นของคลอรีนเท่ากับ 1.3 mg/l ซึ่งไม่สามารถตรวจพบโคโลนีของ *E.coli* K-12, F⁺(A/λ) ได้เลยตั้งแต่เวลาเริ่มต้น

เมื่อนำน้ำตัวอย่างไปเติมปริมาณสารอินทรีย์ให้มีประมาณ 2 เท่าของน้ำตัวอย่าง พร้อมกับเติมคลอรีนให้มีความเข้มข้น 1.3 mg/l (ชุดทดลอง A4) พบ *E.coli* K-12, F⁺(A/λ) จำนวน 1.7X10³ CFU/ml ในเวลาเริ่มต้น และ *E.coli* K-12, F⁺(A/λ) จะลดลงจนไม่สามารถตรวจพบโคโลนีของ *E.coli* K-12, F⁺(A/λ) ได้ในช่วง 30 นาที ในขณะที่ตัวอย่างน้ำที่มีตะกอนแขวนลอยประมาณ 2 เท่าของน้ำตัวอย่าง และเติมคลอรีนให้มีความเข้มข้น 1.3 mg/l (ชุดทดลอง A5) พบ *E.coli* K-12, F⁺(A/λ) จำนวน 1.5X10² CFU/ml ในเวลาเริ่มต้นและไม่สามารถพบโคโลนีของ *E.coli* K-12, F⁺(A/λ) ได้ในช่วง 5 นาที เช่นเดียวกับตัวอย่างน้ำที่มีแอมโมเนียไนโตรเจนเพิ่ม



ภาพประกอบ 4 การเปลี่ยนแปลง *E.coli* K-12, $F^+(A/\lambda)$ ในน้ำเสียโรงพยาบาลจากปัจจัย การทดลองต่าง ๆ

โดย A1 = น้ำเสีย

A2 = น้ำเสียที่เติม *E.coli* K-12, $F^+(A/\lambda)$

A3 = น้ำเสียที่เติม *E.coli* K-12, $F^+(A/\lambda)$ และเติมคลอรีน

A4 = เพิ่มปริมาณสารอินทรีย์ 2 เท่า เติม *E.coli* K-12, $F^+(A/\lambda)$ และคลอรีน

A5 = เพิ่มตะกอนแขวนลอย 2 เท่า เติม *E.coli* K-12, $F^+(A/\lambda)$ และคลอรีน

A6 = เพิ่มแอมโมเนียไนโตรเจน 10 เท่า เติม *E.coli* K-12, $F^+(A/\lambda)$ และคลอรีน

A7 = น้ำเสียที่มี pH 6.6 เติม *E.coli* K-12, $F^+(A/\lambda)$ แต่ไม่เติมคลอรีน

A8 = น้ำเสียที่มี pH 6.6 เติม *E.coli* K-12, $F^+(A/\lambda)$ และคลอรีน

A9 = น้ำเสียที่มี pH 8 เติม *E.coli* K-12, $F^+(A/\lambda)$ และคลอรีน

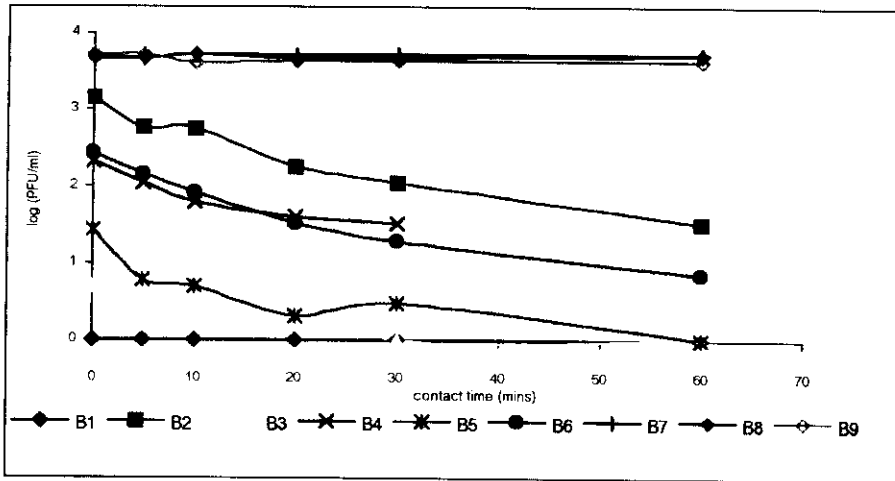
ขึ้นประมาณ 10 เท่าของน้ำตัวอย่าง และ มีการเติมคลอรีนให้มีความเข้มข้นเท่ากับ 1.3 mg/l (ชุดทดลอง A6) ซึ่งพบว่าในช่วง 5 นาที ไม่สามารถพบโคโลนีของ *E.coli* K-12, F⁺(A/λ) โดยพบ *E.coli* K-12, F⁺(A/λ) จำนวน 6.6×10^2 CFU/ml ในเวลาเริ่มต้น

จากตัวอย่างน้ำที่มีความเป็นกรดสูง (pH ต่ำ) เมื่อนำตัวอย่างน้ำไปปรับ pH ให้ตัวอย่างมีความเป็นกรดน้อยลงและมีความเป็นกลางมากยิ่งขึ้น เมื่อปรับ pH ได้ค่า pH 6.6 แล้วนำไปเติม *E.coli* K-12, F⁺(A/λ) ในปริมาณเท่ากับที่ได้กล่าวมาข้างต้นแต่ไม่เติมคลอรีน (ชุดทดลอง A7) พบว่า *E.coli* K-12, F⁺(A/λ) ไม่มีการเปลี่ยนแปลงมากนัก ขณะที่ตัวอย่างน้ำที่มีค่า pH 6.6 ทำการเติม *E.coli* K-12, F⁺(A/λ) และคลอรีน (ชุดทดลอง A8) *E.coli* K-12, F⁺(A/λ) มีแนวโน้มลดลงเล็กน้อย และเมื่อปรับ pH ให้น้ำมีความเป็นด่างมากขึ้น โดยที่น้ำมี pH 8 (ชุดทดลอง A9) เมื่อเติมคลอรีน พบว่า *E.coli* K-12, F⁺(A/λ) มีแนวโน้มลดลงมากกว่า ชุดทดลอง A8 ที่มีค่า pH 6.63

2.2.2 Qβ coliphage

ตัวอย่างน้ำที่นำมาศึกษาการคงชีพและการทำลาย Qβ coliphage ด้วยคลอรีน พบว่ามีลักษณะสมบัติต่าง ๆ คือ มีค่า pH 3.31 มีปริมาณสารอินทรีย์ในเทอม COD 56.4 mg/l มีตะกอนแขวนลอย 38 mg/l แอมโมเนียไนโตรเจน 0.6 mg/l ไม่พบคลอรีนเหลือตกค้าง และไม่พบ coliphage (ชุดทดลอง B1) เมื่อนำตัวอย่างน้ำไปเติม Qβ coliphage ให้มีความเข้มข้นประมาณ 10^3 PFU/ml ทุกชุดทดลอง (B2-B9) แล้วนำไปทดลองการเปลี่ยนแปลงของ coliphage ในสภาวะต่าง ๆ ดังแสดงในตาราง 3 และผลการทดลองดังแสดงในตารางภาคผนวก 4 และภาพประกอบ 5 โดยพบว่า coliphage ในชุดทดลองที่ไม่มีการเติมคลอรีน (B2) coliphage มีการลดลงเล็กน้อย เมื่อเปรียบเทียบกับชุดทดลอง B3 ที่มีการเติมคลอรีนให้มีความเข้มข้นเท่ากับ 1.3 mg/l ซึ่งพบ coliphage จำนวน 5 PFU/ml ในเวลาเริ่มต้น ในขณะที่ชุดทดลอง B2 ยังพบจำนวน coliphage 1.4×10^3 PFU/ml ตั้งแต่เวลาเริ่มต้น และในช่วงเวลา 30 นาที พบ coliphage จำนวน 1 และ 1.1×10^2 PFU/ml ในชุดทดลอง B3 และ B2 ตามลำดับ

เมื่อนำน้ำตัวอย่างไปเติมปริมาณสารอินทรีย์ให้มีประมาณ 2 เท่าของน้ำตัวอย่าง พร้อมทั้งเติมคลอรีนให้มีความเข้มข้น 1.3 mg/l (ชุดทดลอง B4) พบ coliphage จำนวน 2.1×10^2 PFU/ml ในเวลาเริ่มต้น และลดลงจนเหลือจำนวน 3.3×10 PFU/ml ในช่วง 30 นาที ในขณะที่ชุดทดลอง B5 ที่มีตะกอนแขวนลอยประมาณ 2 เท่าของน้ำตัวอย่าง และเติมคลอรีนให้มีความเข้มข้น 1.3 mg/l พบ coliphage จำนวน 2.7×10 PFU/ml ในเวลาเริ่มต้นและมีการลดลงของ coliphage โดยพบ coliphage จำนวน 3 PFU/ml ในช่วง 30 นาที และเมื่อตัวอย่างน้ำที่มี



ภาพประกอบ 5 แสดงการเปลี่ยนแปลง coliphage ในน้ำเสียโรงพยาบาลจากปัจจัยการทดลองต่าง ๆ

โดย B1 = น้ำเสีย

B2 = น้ำเสียที่เติม coliphage

B3 = น้ำเสียที่เติม coliphage และเติมคลอรีน

B4 = เพิ่มปริมาณสารอินทรีย์ 2 เท่า เติม coliphage และคลอรีน

B5 = เพิ่มตะกอนแขวนลอย 2 เท่า เติม coliphage และคลอรีน

B6 = เพิ่มแอมโมเนียไนโตรเจน 10 เท่า เติม coliphage และคลอรีน

B7 = น้ำเสียที่มี pH 6.6 เติม coliphage แต่ไม่เติมคลอรีน

B8 = น้ำเสียที่มี pH 6.6 เติม coliphage และคลอรีน

B9 = น้ำเสียที่มี pH 8 เติม coliphage และคลอรีน

แอมโมเนียไนโตรเจนเพิ่มขึ้นประมาณ 10 เท่าของน้ำตัวอย่าง (ชุดทดลอง B6) พบ coliphage จำนวน 2.7×10^2 PFU/ml ในช่วงเริ่มต้น และมีการลดลงของ coliphage โดยพบ coliphage จำนวน 7 PFU/ml ในช่วง 30 นาที

จากตัวอย่างน้ำที่มีความเป็นกรดสูง (pH ต่ำ) เมื่อนำตัวอย่างน้ำไปปรับ pH ให้ตัวอย่างมีความเป็นกรดน้อยลงและมีความเป็นกลางมากยิ่งขึ้น โดยมีค่า pH ของน้ำตัวอย่างเท่ากับ 6.6 พบว่า ในชุดทดลอง B7 (ไม่เติมคลอรีน) และชุดทดลอง B8 (เติมคลอรีนให้มีความเข้มข้น 1.3 mg/l) ปริมาณของ coliphage ไม่มีการเปลี่ยนแปลงมากนัก ขณะเดียวกันเมื่อปรับ pH น้ำให้มีความเป็นด่างมากขึ้น โดยน้ำตัวอย่างมีค่า pH 8 และนำไปเติมคลอรีน (ชุดทดลอง B9) พบว่า coliphage ไม่มีการเปลี่ยนแปลงมากนัก เช่นเดียวกับชุดทดลอง B7 และ B8